

# Оптические неоднородности в цилиндрических лазерах с ядерной накачкой

В.Ю.Матьев, В.В.Боровков, С.П.Мельников

*Для цилиндрических газовых лазеров с ядерной накачкой рассчитаны оптические неоднородности, формирующиеся под воздействием неоднородного энергоклада осколков деления, облучающих лазерно-активный газ из тонких ураносодержащих слоев. Результаты расчетов согласуются с экспериментом.*

**Ключевые слова:** лазер, газ, неоднородность, энергоклад, облучение.

## Введение

Проблема прямого преобразования ядерной энергии в когерентное световое излучение активно изучается в России и США (см. обзоры [1–3], а также материалы конференций [4, 5]). Основным принцип лазеров с ядерной накачкой (ЛЯН) состоит в создании рекомбинационно-неравновесной плазмы путем облучения лазерного газа ионами – продуктами ядерных реакций, протекающих под воздействием нейтронного облучения в тонких слоях или в самом газе. Цель этих разработок – создание реактора-лазера, в котором ядерно-лазерный блок либо является самостоятельным реактором, либо управляется нейтронным потоком «запального» реактора [1].

Неоднородный энергоклад ионов приводит к перераспределению плотности газа, что ухудшает характеристики лазерного излучения. Оптические неоднородности в ЛЯН, облучаемых осколками деления из плоских и цилиндрических урановых слоев, исследованы экспериментально [6]. Поперечный профиль плотности в цилиндрических ЛЯН уже рассчитывался по одномерной газодинамической программе [7] и в рамках системы упрощенных газодинамических уравнений [8]; для герметичных ЛЯН созданы аналитические модели, не учитывающие [9–11] теплоотвод и учитывающие его [12]. В настоящей работе на основе модели [12], обобщенной для учета буферного объема, рассчитаны оптические неоднородности в цилиндрической кювете, измеренные ранее в [6].

## 1. Условия эксперимента

В экспериментах [6] (рис. 1) цилиндрическая подложка с напыленным изнутри урановым слоем (длина подложки  $l_0 = 57$  см, внутренний диаметр  $d_0 = 2.8$  см, внешний диаметр  $\varphi_0 = 3.4$  см) помещалась в герметичную цилиндрическую кювету длиной  $l_1 = 77$  см с внутренним диаметром  $\varphi_1 = 3.5$  см. Лазерно-активный объем (внутренний объем подложки)  $V_0 = \pi l_0 d_0^2 / 4 = 351$  см<sup>3</sup>, отношение

$\beta = V_0 / V_g$  активного объема к полному объему газа  $V_g$  составляло 0.625. Кювета заполнялась инертными газами (He, Ne, Ar) при различных давлениях.

Средняя по длине подложки толщина уранового слоя (окись-закись урана 90 %-ного обогащения)  $d_1 = 7.6$  мкм, приведенная толщина слоя  $D_1 = d_1 / R_1 = 0.79$ , где  $R_1 = 9.6$  мкм – пробег осколков деления в слое. Поток нейтронов был достаточно однороден по длине подложки (отношение средней плотности потока к максимальной равно 0.88). Флюенс тепловых нейтронов достигал  $10^{13}$  см<sup>-2</sup> за импульс; среднее по слою число ядерных делений  $N^*$  в единице объема слоя за импульс указано в таблице.

Временной профиль импульса аппроксимировался функцией [13]

$$\psi(t) = A\psi_0(t), \quad \psi_0(t) = \cosh^{-2} \left[ \frac{a(t-t_1)}{\tau^*} \right], \quad A = \frac{a}{\tau_0 + \tau_1}, \quad (1)$$

где  $t_1 = 7.6$  мс соответствует максимуму импульса;  $a = 2 \operatorname{arccosh} \sqrt{2} \approx 1.763$ ;  $\tau^*$  – длительность импульса, причем  $\tau^* = \tau_0 = 3.30$  мс для  $t < t_1$ ,  $\tau^* = \tau_1 = 2.45$  мс для  $t > t_1$ . При этом

$$\Psi(t) = \int_{-\infty}^t \psi(t') dt' = \left\{ \tau_0 + \tau^* \tanh \left[ \frac{a(t-t_1)}{\tau^*} \right] \right\} \times (\tau_0 + \tau_1)^{-1}. \quad (2)$$

Начало импульса можно формально отнести к  $-\infty$ :  $\Psi(0) \approx 3 \cdot 10^{-4} \ll \Psi(\infty) = 1$ . Профильная функция  $\psi_0(t)$  приведена на рис. 2 вместе с точным профилем.

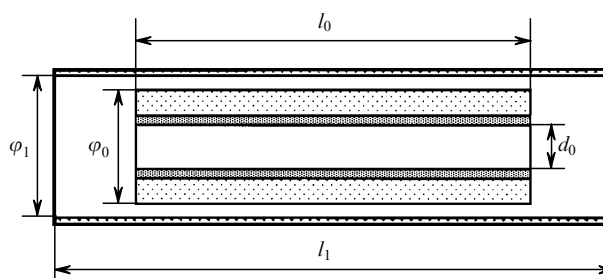


Рис. 1. Схема цилиндрической кюветы ЛЯН.

Расчетные параметры газодинамической модели ( $D_1 = 0.79, d_0 = 2.8$  см).

Газ	$p_0$ (атм)	$N^*$ ( $10^{14}$ см $^{-3}$ )	$D_0 = d_0/R_0$	$\bar{j}_0$	$f_0$	$f_1$	$0.9\Theta$	$C(\rho_0)$ ( $10^{-5}$ )
He	1	0.95	0.25	0.73	0.92	1.10	0.97	3.19
	2	0.99	0.51	0.53	0.81	1.29	0.73	6.37
	3	1.0	0.76	0.40	0.65	1.54	0.56	9.56
	5	0.93	1.27	0.26	0.25	2.21	0.33	15.9
Ar	0.25	0.91	0.27	0.71	0.91	1.11	3.81	6.5
	0.5	0.95	0.54	0.52	0.79	1.31	2.87	12.9
	1.0	0.95	1.1	0.29	0.38	1.97	1.63	25.8
Ne	1.0	0.91	0.74	0.41	0.66	1.51	1.52	6.1

Оптические неоднородности измерялись с помощью интерферометра Маха–Цендера на длине волны He–Ne-лазера (633 нм). Интерференционная картина регистрировалась камерой СФР-1, система импульсного питания которой расширяла временной диапазон регистрации до 0.1 с (с разрешением до 50 мкс). Давление измерялось индуктивным дифференциальным датчиком ДМИ-6-2.

### 2. Энерговклад осколков деления

Общий метод расчета энерговклада осколков деления в ЛЯН изложен в работах [14, 15]. В основе метода лежат общепринятые приближения [16, 17]: однородность потока нейтронов, изотропный разлет и прямолинейная траектория полета осколков деления, моноэнергетический спектр осколков. В расчет заложен квадратичный закон торможения [17, 18]: энергия осколка  $E$  зависит от пройденного расстояния  $l$  как  $E = E_0(1 - l/R)^2$ , где  $E_0$  и  $R$  – начальная энергия и пробег осколков деления.

Энергию  $\delta E^*$ , поглощаемую в единице объема газа  $\delta V$  за единицу времени  $\delta t$ , можно представить в виде

$$\frac{\delta E^*}{\delta V \delta t} = \frac{\rho(\mathbf{r}, t)}{\rho_0} Q(\mathbf{r}, t), \quad Q(\mathbf{r}, t) = \frac{\Theta p_0}{\gamma - 1} \psi(t) f(\mathbf{r}, t), \tag{3}$$

$$f(\mathbf{r}, t) = \frac{j(\mathbf{r}, t)}{\bar{j}_0},$$

$$\Theta = (\gamma - 1) \frac{2E_0 R_1}{p_0 R_0} N^* \bar{j}_0, \quad \gamma = \frac{c_p}{c_v} = \frac{5}{3}, \tag{4}$$

где  $\rho(\mathbf{r}, t)$  – плотность газа;  $\rho_0$  – начальная плотность газа;  $p_0$  – начальное давление газа;  $c_p$  и  $c_v$  – теплоемкости при постоянном давлении и объеме соответственно;  $R_1$  и  $R_0$  – пробеги осколков деления в слое и в невозмущенном газе;  $j(\mathbf{r}, t)$  – безразмерная функция энерговклада, определяемая геометрией кюветы и распределением плотности;  $\bar{j}_0$  – функция энерговклада, усредненная по объему  $V_0$  для не-

возмущенного газа. Параметр  $\Theta$  введен [12] как термодинамически значимая мера энерговклада; он определен как отношение энергии, поглощенной всем объемом облучаемого газа  $V_0$  за импульс (рассчитанной для невозмущенного газа), к внутренней энергии газа. В грубом приближении этот параметр равен отношению приращения средней температуры газа к первоначальной температуре.

В пренебрежении продольным движением газа вдоль оси для цилиндрических ЛЯН функцию энерговклада в практически важных случаях можно полагать неизменной в лагранжевых координатах [15]:  $j(\mathbf{r}, t) \approx j(r_0)$ , где  $r_0$  – начальный радиус, связанный с текущим радиусом  $r$  соотношением  $\rho(r, t) dr^2 = \rho_0 dr_0^2$ . При этом [15]

$$j(r_0) = \int_0^\pi \hat{v}[A_0(A_r, \varphi)] d\varphi / \pi - \int_0^\pi \hat{v}[A_0(A_r, \varphi) + A_1(A_r, \varphi)] d\varphi / \pi, \tag{5}$$

$$A_0(A_r, \varphi) = \frac{D_0}{2} [(1 - A_r^2 \sin^2 \varphi)^{1/2} - A_r \cos \varphi], \quad D_0 = \frac{d_0}{R_0},$$

$$A_r = \frac{2r}{d_0}, \quad A_1(A_r, \varphi) \approx \frac{D_1}{(1 - A_r^2 \sin^2 \varphi)^{1/2}}, \quad D_1 = \frac{d_1}{R_1}, \quad d_1 \ll d_0,$$

$$v(A) = (1 - A^2)^{1/2} - 2A \arccos A + A^2 \operatorname{arctanh}(1 - A^2)^{1/2}, \tag{6}$$

$$\hat{v}(A) = \begin{cases} v(A), & A \leq 1, \\ 0, & A > 1. \end{cases}$$

Особый интерес представляет энерговклад в приосевых областях, где квадратура (5) может быть вычислена путем разложения. Полагая

$$A_1(A_r, \varphi) \approx D_1 \left( 1 + \frac{A_r^2 \sin^2 \varphi}{2} \right),$$

$$A_0(A_r, \varphi) \approx \frac{D_0}{2} \left( 1 - A_r \cos \varphi - \frac{A_r^2 \sin^2 \varphi}{2} \right), \quad A_r \ll 1,$$

с точностью до квадратичных членов получаем

$$j(A_r) \approx j(0) + \frac{1}{2} A_r^2 j''(0), \quad A_r \ll 1, \tag{7}$$

$$j(0) = \hat{v}(A_0) - \hat{v}(A_1), \quad j''(0) = \hat{v}_0(A_0) - \hat{v}_1(A_1),$$

$$A_0 = \frac{D_0}{2}, \quad A_1 = D_1 + \frac{D_0}{2},$$

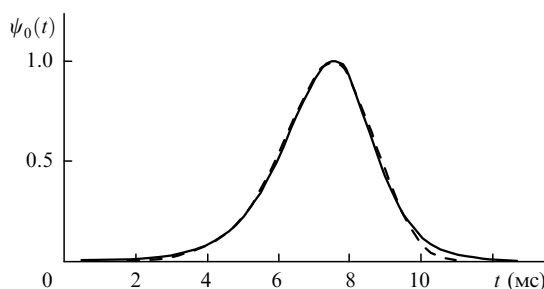


Рис.2. Расчетный (сплошная линия) и измеренный (штриховая линия) временные профили нейтронного импульса.

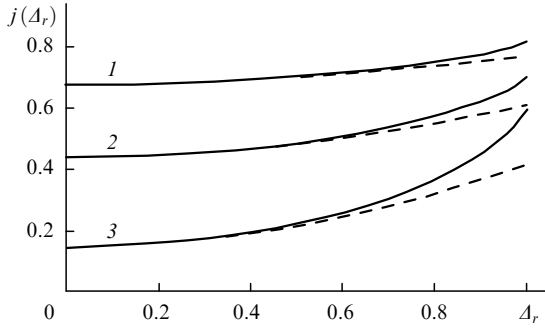


Рис.3. Точный расчет по формулам (5), (6) (сплошная линия) и параболическая аппроксимация согласно (7) (штриховая линия) функции энерговклада в цилиндрической кювете ЛЯН ( $D_1 \geq 1$ ) для  $D_0 = 0.25$  (1), 0.5 (2) и 1.0 (3).

$$v_0(D_0) = \frac{1}{2} \left[ -D_0 \frac{dv(D_0)}{dD_0} + D_0^2 \frac{d^2v(D_0)}{dD_0^2} \right] = D_0 \arccos D_0,$$

$$v_1(D_1) = \frac{1}{2} \left[ (D_1 - D_0) \frac{dv(D_1)}{dD_1} + D_0^2 \frac{d^2v(D_1)}{dD_1^2} \right]$$

$$= (D_0 - D_1) \arccos D_1 + D_1^2 \operatorname{arctanh}(1 - D_1^2)^{1/2}.$$

На рис.3 показан профиль энерговклада в кюветах ЛЯН с толстым ( $D_1 \geq 1$ ) цилиндрическим урановым слоем для трех  $D_0$ . Видно, что параболическая аппроксимация является практически точной до половины радиуса.

### 3. Перераспределение плотности газа в основной части кюветы

Особенности газодинамических процессов в ЛЯН состоят в следующем [6, 7, 9]: давление газа практически однородно поперек кюветы, а теплопроводность играет существенную роль лишь в узкой пристеночной области. Действительно, при  $d_0 \sim 2$  см время релаксации поперечных градиентов давления  $\tau_p \sim d_0/u_s \sim 0.01$  мс (где  $u_s \sim 10^5$  см/с – скорость звука) много меньше длительности импульса  $\tau^* \sim 1$  мс. Оценивая поперечную скорость газа как  $u \sim d_0/\tau^*$ , это условие можно понять как малость числа Маха:  $M = u/u_s \ll 1$ . Размер же области, эффективно охваченной теплопроводностью за время  $\tau$ , оценивается как

$$\lambda_T \simeq (\chi\tau)^{1/2}, \quad (8)$$

где  $\chi$  – коэффициент температуропроводности ( $\chi \sim 1$  см<sup>2</sup>/с для инертных газов). Для импульса длительностью  $\tau^*$  получаем  $\lambda_T \sim 0.3$  мм  $\ll d_0$ . Это означает, что теплопроводность существенна лишь у стенок кюветы (холодных по сравнению с газом), где развивается термический погранслои [7], размеры которого соответствуют (8). Поперечное число Рейнольдса  $Re = d_0 u/\eta \sim 10^3 \gg 1$  ( $\eta \sim 1$  см<sup>2</sup>/с – кинематическая вязкость), а у стенки поперечная скорость становится равной нулю и без участия вязких сил, поэтому влияние вязкости на поперечное движение пренебрежимо мало и даже динамический погранслои не образуется.

Итак, в основной части кюветы газ полагается идеальным, нетеплопроводным и невязким, а его давление – однородным ( $p = p(t)$ ). Тогда задача сводится к термодинамической [12]: энергия  $\Delta E^*$ , поглощенная малым элементом газа объемом  $v$ , идет на приращение его внутренней энергии  $E_T = pv/(\gamma - 1)$  и работу по расширению  $p\Delta v$ , поэтому [19]

$$(\gamma - 1)\Delta E^* = \gamma p\Delta v + v\Delta p.$$

С учетом сохранения массы ( $\rho v = \rho_0 v_0$ ) получаем основное уравнение

$$(\gamma - 1) \frac{\delta E^*}{\delta V \delta t} = \frac{dp}{dt} - \frac{\gamma p}{\rho} \frac{d\rho}{dt}. \quad (9)$$

Это уравнение можно получить и другим путем [9] – как нулевое приближение при разложении системы газодинамических уравнений (для идеального невязкого и нетеплопроводного газа) в ряд по степеням числа Маха. Для одномерного движения газа (в бесконечной плоской геометрии) решение (9) практически точно совпадает с численным решением системы газодинамических уравнений (для нетеплопроводного газа) [9] при  $d_0/(u_s\tau) = 0.05$ , и даже при  $d_0/(u_s\tau) = 1$  выражение (9) хорошо описывает динамику сглаженного профиля плотности (на который, однако, при  $M \rightarrow 1$  накладывается «рябь» акустических колебаний [9], не описываемых уравнением (9)).

Продольное движение газа здесь не учитывается (как и в работах [7–11]), хотя ситуация с продольным градиентом давления более деликатная: для кювет длиной порядка метра число Маха (для продольной скорости) при продольно-неоднородном энерговкладе может приблизиться к единице даже для миллисекундных импульсов, и тогда возникают продольные колебания давления [20]. Однако главный практический интерес представляет динамика поперечного профиля плотности; влиянием же на ход лучей продольных колебаний плотности можно пренебречь [21].

Давление газа определяется усредненным по объему энерговкладом за вычетом теплоотвода на стенки кюветы [22]:

$$p(t) = p^*(t) - \delta p(t), \quad \frac{dp^*}{dt} = (\gamma - 1) \left\langle \frac{\delta E^*}{\delta V \delta t} \right\rangle_V, \quad (10)$$

$$\frac{d(\delta p)}{dt} = \frac{\gamma - 1}{V_g} \oint_{S_V} \mathbf{q} dS,$$

где  $p^*(t)$  – расчетное давление в пренебрежении теплоотводом;  $\mathbf{q} = -k\nabla T$  – плотность потока тепла на стенку;  $k$  – коэффициент теплопроводности;  $T$  – температура газа. Область теплоотвода (где рефракция очень велика [6, 7]) должна быть мала, поэтому обусловленную им поправку к давлению  $\delta p$  можно полагать малой:  $\delta p \ll p^*$ . Пренебрегая теплоотводом ( $\delta p = 0$ ) и полагая  $f(\mathbf{r}, t) \approx f(r_0)$ , из (3), (9), (10) получаем

$$p(t) \approx p^*(t) \equiv p_0 [1 + \beta \Theta \psi(t)], \quad \beta = \frac{V_0}{V_g}, \quad (11)$$

$$\frac{\rho_0}{\rho(r_0, t)} = \left( \frac{p_0}{p^*(t)} \right)^{1/\gamma} \left\{ 1 + \left[ \left( \frac{p^*(t)}{p_0} \right)^{1/\gamma} - 1 \right] \frac{f(r_0)}{\beta} \right\}, \quad (12)$$

$$\frac{T(r_0, t)}{T_0} = \left( \frac{p^*(t)}{p_0} \right)^\Gamma \left\{ 1 + \left[ \left( \frac{p^*(t)}{p_0} \right)^{1/\gamma} - 1 \right] \frac{f(r_0)}{\beta} \right\}, \quad (13)$$

$$\Gamma = \frac{\gamma - 1}{\gamma},$$

что обобщает результаты [9, 12], полученные для герметичной кюветы при отсутствии буферных объемов ( $\beta = 1$ ).

Этот подход в рамках указанных исходных приближений (нетеплопроводный невязкий газ при однородном давлении) не является единственно возможным. Так, в модели [10] полагалось, что отдельные элементы газа сначала изохорически нагреваются соответственно своему энергокладу, а затем адиабатически расширяются или сжимаются до установления однородного давления. Эта модель приемлема лишь для малых энергокладов, поскольку разогрев газа и его расширение – сжатие происходят одновременно, а не последовательно. Модель [11] основана на уравнении, аналогичном (9), но функция энергоклада полагалась неизменной в эйлеровых координатах, а его пропорциональность локальной плотности не учитывалась; по этой причине в модели [11] различие плотностей в двух точках с различным энергокладом может быть, при достаточно больших энергокладах, сколь угодно большим. Однако в пределе больших энергокладов ( $\Theta \rightarrow \infty$ ) в указанных приближениях формируется стационарный профиль плотности, обратный профилю энергоклада [9, 12]. Таким образом, модели [9, 12] являются наиболее последовательными, уступая в точности лишь численным расчетам [7, 8] с явным учетом теплопроводности. В [7] функция энергоклада также полагалась неизменной в лагранжевых координатах, а в [8] она не фиксировалась, что позволило впервые рассчитать смещение оптической оси при азимутально-неоднородном потоке нейтронов.

Хотя в основной части кюветы теплопроводность пренебрежимо мала, она все же влияет (через теплоотвод в погранслое) на давление газа, что игнорировалось в моделях [9 – 11]. В работе [12] уравнение (9) решалось для произвольной зависимости  $p(t)$ , которая затем находилась с учетом теплоотвода. Это решение, справедливое для произвольных трехмерных движений («уравнение неадиабаты»), имеет вид

$$\frac{\rho_0}{\rho(r, t)} = \left(\frac{p_0}{p(t)}\right)^{1/\gamma} \left[1 + \frac{\Gamma}{p_0} \int_{t_0}^t \left(\frac{p_0}{p(t')}\right)^\Gamma Q(r(t'), t') dt'\right]. \quad (14)$$

Для поперечных движений газа, полагая  $f(r, t) \approx f(r_0)$ , из (3), (14) имеем [12]

$$\frac{\rho_0}{\rho(r_0, t)} = \left(\frac{p_0}{p(t)}\right)^{1/\gamma} [1 + F(t)f(r_0)], \quad (15)$$

$$\frac{T(r_0, t)}{T_0} = \left(\frac{p(t)}{p_0}\right)^\Gamma [1 + F(t)f(r_0)],$$

$$r^2(r_0, t) = \left(\frac{p_0}{p(t)}\right)^{1/\gamma} \left[r_0^2 + F(t) \int_0^{r_0^2} f(r'_0) dr'_0\right],$$

$$F(t) = \frac{\Theta}{\gamma} \int_{t_0}^t \left(\frac{p_0}{p(t')}\right)^\Gamma \psi(t') dt'. \quad (16)$$

Рассматривая теплоотвод как возмущение, оценим его из простых соображений. Пусть в момент времени  $t'$  температура газа в пристеночной области возрастает на  $\delta T$  (температуру стенки можно полагать равной начальной температуре газа  $T_0$ ). Приращение плотности потока тепла на стенку, обусловленное этим приращением температуры, составит согласно (8)

$$\delta q(t) \simeq k \frac{\delta T(t')}{\lambda_T(t, t')}, \quad \lambda_T(t, t') = [\chi(t - t')]^{1/2},$$

$$\chi = \chi_0 \frac{\rho_0}{\rho_1(t)}, \quad \chi_0 = \frac{k}{\rho_0 c_p}, \quad \frac{\rho_0}{\rho_1(t)} = \frac{p_0}{p^*(t)},$$

где  $\rho_1(t)$  – плотность газа у стенки (коэффициент теплопроводности  $k$  полагается постоянным). Суммируя по импульсу, получаем плотность потока тепла на стенку

$$q(t) \simeq k \int_{t_0}^t \frac{dT_1}{dt} \Big|_{t'} \frac{dt'}{[\chi(t')(t - t')]^{1/2}} = \frac{\gamma p_0}{\gamma - 1} \int_{t_0}^t \frac{d}{dt} \left(\frac{T_1}{T_0}\right) \Big|_{t'} \left(\frac{p^*(t')}{p_0}\right)^{1/2} \left(\frac{\chi_0}{t - t'}\right)^{1/2} dt', \quad (17)$$

где  $T_1(t)$  – температура газа в пристеночной области в пренебрежении теплоотводом (13), причем функцию энергоклада  $f(r_0)$  ввиду малости толщины слоя можно приближенно заменить ее значением на стенке  $f_1$ . В активном объеме кюветы

$$\frac{dT_{1a}}{dt} = T_0 \Theta \left[ f_1 + \Gamma(\beta - f_1) \left(\frac{p_0}{p^*(t)}\right)^{1/\gamma} \right] \psi(t). \quad (18)$$

В буферном объеме, где газ разогревается адиабатическим сжатием ( $f_1 = 0$ ),

$$\frac{dT_{1b}}{dt} = T_0 \Theta \Gamma \beta \left(\frac{p_0}{p^*(t)}\right)^{1/\gamma} \psi(t). \quad (19)$$

Общий поток тепла на стенки кюветы в пренебрежении теплоотводом на торцы определяется выражением

$$\oint_{S_V} q dS \approx q_a S_a + q_b S_b, \quad \frac{S_a}{V_g} = \beta \frac{S_a}{V_0} = \beta \frac{4}{d_0}, \quad (20)$$

$$\frac{S_b}{V_g} = (1 - \beta) \frac{S_b}{V_b} = (1 - \beta) \frac{4}{\phi_1},$$

где  $S_a = \pi d_0 l_0$  – площадь поверхности активного слоя;  $S_b = \pi \phi_1 (l_1 - l_0)$  – площадь поверхности буферного объема  $V_b$ . Теплоотводом в зазоре между трубкой подложки и кюветой пренебрегаем. Для вклада теплоотвода в давление согласно (10), (17) – (20) имеем

$$\begin{aligned} \frac{d(\delta p)}{dt} &= \frac{4\gamma p_0}{d_0} \int_{t_0}^t \left[ \beta \frac{d}{dt} \left(\frac{T_{1a}}{T_0}\right) \Big|_{t'} + \frac{d_0}{\phi_1} (1 - \beta) \frac{d}{dt} \left(\frac{T_{1b}}{T_0}\right) \Big|_{t'} \right] \\ &\times \left(\frac{p^*(t')}{p_0}\right)^{1/2} \left(\frac{\chi_0}{t - t'}\right)^{1/2} dt' \\ &= \beta \xi \Theta p_0 \int_{t_0}^t G(t') \left(\frac{p^*(t')}{p_0}\right)^{1/2} \frac{\psi(t') dt'}{(t - t')^{1/2}}, \quad \xi = \frac{4\gamma}{d_0} \chi_0^{1/2}, \end{aligned}$$

$$G(t) = f_1 + \Gamma \left(\frac{p_0}{p^*(t)}\right)^{1/\gamma} \left[ \beta - f_1 + (1 - \beta) \frac{d_0}{\phi_1} \right],$$

$$\delta p(t) = 2\beta \xi \Theta p_0 \int_{t_0}^t G(t') \left(\frac{p^*(t')}{p_0}\right)^{1/2} (t - t')^{1/2} \psi(t') dt'. \quad (21)$$

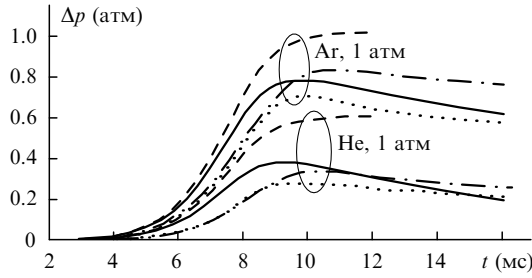


Рис.4. Приращение давления  $\Delta p(t) = p^*(t) - \delta p(t) - p_0$ : расчет  $\Delta p(t)$  с учетом теплоотвода по формулам (10), (11), (21) (сплошная линия), без учета теплоотвода ( $\delta p(t) = 0$ ) по формуле (11) (штриховая линия), численный расчет [7] (штрихпунктир) и экспериментальные данные [6] (пунктир).

Подставляя  $\delta p(t)$  из (21) и  $p^*(t)$  из (11) в (15), (16), получаем для плотности газа соотношения

$$\frac{\rho_a(r_0, t)}{\rho_0} = \left( \frac{p^*(t) - \delta p(t)}{p_0} \right)^{1/\gamma} [1 + F(t)f(r_0)]^{-1}, \quad (22)$$

$$\frac{\rho_b(t)}{\rho_0} = \left( \frac{p^*(t) - \delta p(t)}{p_0} \right)^{1/\gamma}$$

в активном и буферном объемах соответственно. Для продольно-усредненной плотности имеем

$$\left\langle \frac{\rho(r_0, t)}{\rho_0} \right\rangle = \frac{l_0}{l_1} \frac{\rho_a(r_0, t)}{\rho_0} + \frac{l_1 - l_0}{l_1} \frac{\rho_b(t)}{\rho_0}. \quad (23)$$

Такова расчетная газодинамическая модель. Все расчетные параметры указаны в таблице. Пробег осколков деления в газе (в мг/см<sup>2</sup>) определялся согласно [17, 18] выражением

$$R_0 = 0.755 + 0.388A_0Z_0^{-1/2},$$

где  $A_0$  и  $Z_0$  – атомный вес и атомный номер газа. Коэффициент  $\chi_0$  был принят равным 1.71 см<sup>2</sup>/с для He, 0.20 см<sup>2</sup>/с для Ar, 0.56 см<sup>2</sup>/с для Ne (при  $p_0 = 1$  атм и  $T_0 = 20^\circ\text{C}$ ) [23]. Величина  $\Theta$  взята с поправочным фактором 0.9 для учета неоднородности слоев [22].

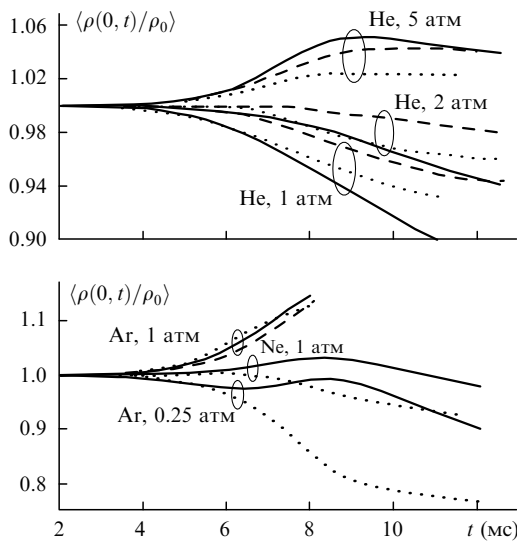


Рис.5. Относительная плотность на оси кюветы: расчет по формулам (16), (22), (23) (сплошная линия), численный расчет [7] (штриховая линия) и экспериментальные данные [6] (пунктир).

На рис.4 представлены типичные результаты расчета давления (с учетом и без учета теплоотвода) в сравнении с данными экспериментов [6] и численных расчетов [7] (в [7] максимум импульса был отнесен к  $t_1 \approx 8$  мс). Расхождение с данными [6] на фронте импульса можно объяснить запаздыванием реакции датчика давления (расположенного на торце кюветы). Максимальное расчетное давление превышает измеренное (как и в [7]). Эта проблема уже обсуждалась [20, 22], однако полной ясности здесь еще нет.

На рис.5 приведены результаты расчетов относительной плотности (23) на оси кюветы ( $r = 0$ ). Значительное расхождение с экспериментом наблюдается только для Ar низкого давления, когда существенным становится продольное движение газа.

#### 4. Параболический коэффициент показателя преломления

Как показали эксперименты [6], поведение показателя преломления на большей части радиуса кюветы описывается зависимостью

$$n(r, t) = n(0, t) - \alpha(t)r^2. \quad (24)$$

Наибольший практический интерес представляет параболический коэффициент  $\alpha(t)$ . С его помощью можно построить лучевую матрицу и рассчитать устойчивость резонатора, как это было сделано [24] для плоской кюветы ЛЯН. Для газов показатель преломления зависит от плотности как  $n = 1 + C(\rho_0)\rho/\rho_0$ ; константы  $C(\rho_0)$ , использованные при обработке экспериментов [6] (и в наших расчетах), указаны в таблице.

Усредненный по длине кюветы параболический коэффициент

$$\begin{aligned} \langle \alpha(t) \rangle &= - \left\langle \frac{\partial^2 n(r, t)}{2\partial r^2} \right\rangle = - \frac{C(\rho_0)}{2} \frac{\partial^2}{\partial r^2} \left\langle \frac{\rho(r_0, t)}{\rho_0} \right\rangle \\ &= - \frac{l_0}{2l_1} C(\rho_0) \frac{\partial^2}{\partial r^2} \left( \frac{\rho_a(r_0, t)}{\rho_0} \right). \end{aligned} \quad (25)$$

Учитывая особую роль приосевой области в генерации когерентного излучения, производную следует брать на оси, для чего целесообразно использовать квадратичное разложение функции энерговклада (7). Согласно (16)

$$\begin{aligned} \left( \frac{\partial r}{\partial r_0} \right)^2 &= \left( \frac{p_0}{p(t)} \right)^{1/\gamma} \frac{r_0^2 [1 + F(t)f(r_0)]^2}{r_0^2 + F(t) \int_0^{r_0^2} f(r_0') dr_0'^2}, \\ \frac{\partial^2}{\partial r^2} \left( \frac{\rho(r_0, t)}{\rho_0} \right) \Big|_{r=0} &= \left( \frac{\partial r_0}{\partial r} \right)^2 \Big|_{r=0} \frac{\partial^2}{\partial r_0^2} \left( \frac{\rho(r_0, t)}{\rho_0} \right) \Big|_{r_0=0} \\ &= \left( \frac{p(t)}{p_0} \right)^{1/\gamma} \frac{1}{1 + F(t)f_0} \frac{\partial^2}{\partial r_0^2} \left( \frac{\rho(r_0, t)}{\rho_0} \right) \Big|_{r_0=0}, \quad f_0 = f(0). \end{aligned}$$

Подставляя сюда (22), с учетом (7) окончательно получаем

$$\frac{\partial^2}{\partial r^2} \left( \frac{\rho_a(r_0, t)}{\rho_0} \right) \Big|_{r=0} = - \left( \frac{p(t)}{p_0} \right)^{2/\gamma} \frac{F(t)f_0''}{[1 + F(t)f_0]^3}, \quad (26)$$

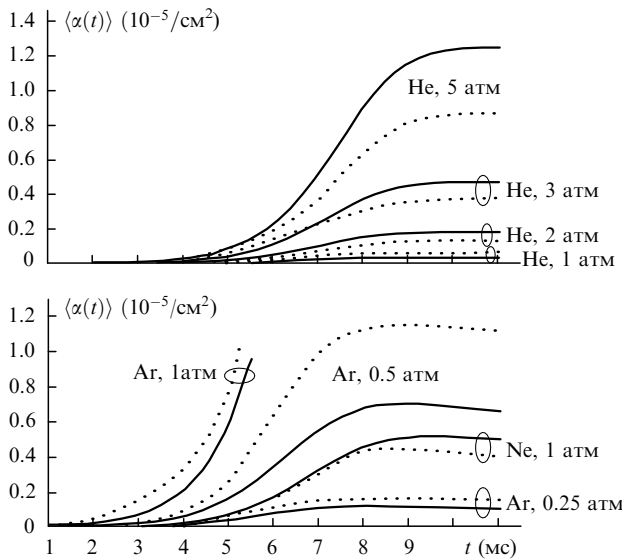


Рис.6. Теоретически рассчитанные (сплошные линии) и экспериментально измеренные [6] (пунктир) параболические коэффициенты на оси ячейки.

$$f_0'' = \frac{4 j''(0)}{d_0^2 \bar{j}_0}$$

Для малых энерговкладов в пренебрежении теплоотводом имеем

$$\left. \frac{\partial^2}{\partial r^2} \left( \frac{\rho_a(r_0, t)}{\rho_0} \right) \right|_{r=0} \approx -\frac{\Theta}{\gamma} \Psi(t) f_0'', \quad \Theta \ll 1.$$

Согласно (7) толщина слоя ощущается лишь для He при  $p_0 = 1$  атм ( $\Delta_1 \approx 0.92$ ) и для Ar при  $p_0 = 0.25$  атм ( $\Delta_1 \approx 0.93$ ); при этом  $|v_1(\Delta_1)| \approx 0.01 \ll v_0(\Delta_0) \approx 0.2$ . В других случаях  $\Delta_1 > 1$ , поэтому для расчета  $f_0''$  была использована более простая зависимость

$$f_0'' = 2D_0 \frac{\arccos(D_0/2)}{\bar{j}_0 d_0^2}. \quad (27)$$

Результаты расчетов параболического коэффициента согласно (25)–(27) представлены на рис.6 в сравнении с экспериментальными данными работы [6].

Оптические неоднородности ведут к нарушению устойчивости резонатора [24] и создают угловую расходимость излучения, оцениваемую как  $\vartheta \sim l_0(\partial n/\partial r) \sim l_0 d_0 \times \alpha(t)$ , что к концу импульса дает  $\vartheta \sim 10^{-4} - 10^{-3}$  в зависимости от давления и сорта газа.

## Заключение

Таким образом, изложенный метод расчета оптических неоднородностей цилиндрических ЛЯН в пренебрежении вязкостью и теплопроводностью при однородном по объему давлении газа, определяемом с учетом теплоотвода на стенки кюветы, описывает экспериментальные данные в среднем не хуже, чем численные расчеты по специальной газодинамической программе. Он может

быть использован для расчета лазерного излучения в кюветах ЛЯН и оптимизации лазерных резонаторов.

Авторы выражают благодарность А.А.Синянскому за поддержку работы.

- Schneider R.T., Hohl F. *Advances in nuclear science and technology* (N.Y., Plenum Press, 1984, v.16, p.123).
- Пупко В.Я. *Препринт ФЭИ № 1245* (Обнинск, 1981).
- Карелин А.В., Синянский А.А., Яковленко С.И. *Квантовая электроника*, **24**, 387 (1997).
- Сб. докл. конф. «Физика ядерно-возбуждаемой плазмы и проблемы лазеров с ядерной накачкой» (Обнинск, ФЭИ, 1992–1993, т.1–3).
- Сб. докл. II конф. «Физика ядерно-возбуждаемой плазмы и проблемы лазеров с ядерной накачкой» (Арзамас-16, ВНИИЭФ, 1995, т.1, 2).
- Боровков В.В., Лажинцев Б.В., Мельников С.П., Мочкаев И.Н., Нор-Аревян В.А., Синянский А.А., Федоров Г.И. *Изв. АН СССР. Сер. физич.*, **54**, 2009 (1990).
- Сизов А.Н., Дерюгин Ю.Н. *ЖТФ*, **62**, 107 (1992).
- Качанов Б.В., Гулевич А.В. Сб. докл. II конф. «Физика ядерно-возбуждаемой плазмы и проблемы лазеров с ядерной накачкой» (Арзамас-16, ВНИИЭФ, 1995, т.1, с.358).
- Torczynski J.R. *J.Fluid.Mech.*, **201**, 167 (1989).
- Анучин М.Г., Гребенкин К.Ф., Кандиев Я.З., Черепанова Е.И. *ЖТФ*, **61**, 3 (1991).
- Гулевич А.В., Дубовская В.А., Зродников А.В., Качанов Б.В. Сб. докл. конф. «Физика ядерно-возбуждаемой плазмы и проблемы лазеров с ядерной накачкой» (Обнинск, ФЭИ, 1992–1993, т.3, с.77).
- Матвев В.Ю. Сб. докл. II конф. «Физика ядерно-возбуждаемой плазмы и проблемы лазеров с ядерной накачкой» (Арзамас-16, ВНИИЭФ, 1995, т.1, с.410).
- Чикин К.Р., Харитонов В.В. *Атомная энергия*, **65**, 435 (1988).
- Матвев В.Ю. Сб. докл. конф. «Физика ядерно-возбуждаемой плазмы и проблемы лазеров с ядерной накачкой» (Обнинск, ФЭИ, 1992–1993, т.2, с.79).
- Матвев В.Ю., Сизов А.Н. Сб. докл. конф. «Физика ядерно-возбуждаемой плазмы и проблемы лазеров с ядерной накачкой» (Обнинск, ФЭИ, 1992–1993, т.2, с.209).
- Пупко В.Я. *Препринт ФЭИ № 1246* (Обнинск, 1981).
- Казазян В.Т., Литвиненко Б.А., Рогинец Л.П., Савушкин И.А. *Физические основы использования кинетической энергии осколков деления в радиационной химии* (Минск, Наука и техника, 1972).
- Kahn S., Harman R., Forgue V. *Nucl.Sci.Engng*, **23**, 8 (1965).
- Станюкович К.П. *Неустановившиеся движения сплошной среды* (М., Наука, 1971).
- Torczynski J.R., Neal D.R. *Nucl.Sci.Engng*, **113**, 189 (1993).
- Матвев В.Ю. Сб. докл. II конф. «Физика ядерно-возбуждаемой плазмы и проблемы лазеров с ядерной накачкой» (Арзамас-16, ВНИИЭФ, 1995, т.1, с.421).
- Боровков В.В., Влох Г.В., Лажинцев Б.В., Нор-Аревян В.А., Сизов А.Н., Синянский А.А., Филиппов Г.Э. *Квантовая электроника*, **22**, 219 (1995).
- Чиркин В.С. *Теплофизические свойства материалов* (М., Физматгиз, 1959).
- Neal D.R., Sweatt W.C., Torczynski J.R. *Proc.SPIE*, **965**, 130 (1988).

V.Yu.Mat'ev, V.V.Borovkov, S.P.Mel'nikov. **Optical inhomogeneities in nuclear-pumped cylindrical lasers.**

The optical inhomogeneities, formed as a result of the effect of the inhomogeneous energy input by the fission fragments irradiating the laser-active gas from thin uranium-containing layers, were calculated for cylindrical nuclear-pumped gas lasers. The results of the calculations agree with the experiment.